

# Fragmentation Primaire et Dérivée: Étude de Complexité, Algorithmes de Sélection et Validation sous ORACLE10g

Kamel Boukhalfa \*, Ladjel Bellatreche\* Pascal Richard \*

\* LISI/ENSMA - Université de Poitiers  
Futuroscope 86960 France  
(boukhalk, bellatreche, richardp)@ensma.fr

**Résumé.** La fragmentation horizontale a été largement adoptée par la communauté des bases de données. Elle a une place à part entière dans la conception physique. Plusieurs systèmes de gestion de bases de données (SGBD) commerciaux ont proposé un langage de définition de données pour partitionner des tables relationnelles en utilisant différents modes. Dans ce papier, nous présentons d'abord l'évolution de la fragmentation ces dernières années au sein des SGBDs. Deuxièmement, nous étudions le problème de sélection de schéma de fragmentation d'un entrepôt de données relationnel, et nous montrons qu'il est NP-complet. Vu sa complexité, nous développons un algorithme de hill climbing (méthode de voisinage) pour sélectionner un schéma de fragmentation quasi optimal. Nous effectuons des expérimentations afin de comparer cet algorithme avec deux autres algorithmes: un génétique et un recuit simulé en utilisant un modèle de coût mathématique. Finalement, nous effectuons une validation réelle de nos algorithmes sous ORACLE10g en utilisant les données issues du banc d'essai APB1.

## 1 Introduction

Les entrepôts de données sont connus par leur volumétrie et requêtes complexes caractérisées par des jointures, sélections et agrégations. Pour optimiser ces opérations et faciliter la gestion de ces données, la fragmentation horizontale est devenue un candidat sérieux (Papadomanolakis et Ailamaki, 2004; Sanjay et al., 2004). Elle permet de partitionner les tables, les vues matérialisées ou les index en plusieurs ensembles disjoints de tuples stockés physiquement et généralement accédés séparément. Une caractéristique intéressante liée à la fragmentation horizontale est le fait qu'elle ne duplique pas les données, et par conséquent, elle réduit les coûts de stockage et de maintenance.

Deux versions de la fragmentation horizontale ont été définies (Özsu et Valduriez, 1999) : primaire et dérivée. La fragmentation horizontale primaire d'une relation est effectuée en utilisant les attributs définis sur cette table. La fragmentation horizontale dérivée consiste à partitionner une table en utilisant les attributs définis sur une ou plusieurs autres(s) table(s). En d'autres termes, la fragmentation horizontale dérivée d'une table est basée sur le schéma de

fragmentation des autres tables <sup>1</sup>. La fragmentation horizontale dérivée d'une table  $R$  en fonction du schéma de fragmentation de  $S$  est possible si, et seulement si, il existe un lien de jointure entre  $R$  et  $S$  ( $R$  contient une clé étrangère de  $S$ ). A partir de ces deux définitions, nous constatons que la fragmentation primaire pourrait accélérer les opérations de sélection tandis que la fragmentation dérivée les opérations de jointure.

Cette optimisation est assurée par le mécanisme d'élimination de partitions non pertinentes : si une requête contient un attribut de partition dans la clause WHERE, l'optimiseur dirige automatiquement la requête vers les partitions valides : si nous fragmentons une table CLIENT en utilisant l'attribut SEXE et si une requête possède une condition sur cet attribut, l'optimiseur ne charge que la partition pertinente.

Le partitionnement de données a été largement étudié dans les bases de données traditionnelles (Bellatreche et al., 2000) et les bases de données distribuées et parallèles (Navathe et al., 1995; Özsu et Valduriez, 1999). Récemment, plusieurs travaux commerciaux et académiques ont montré l'intérêt de la fragmentation horizontale (Sanjay et al., 2004; Papadomanolakis et Ailamaki, 2004; Corp., 2007). Plusieurs SGBDs commerciaux ont proposé des langages de définitions de données pour supporter la fragmentation. Pour étudier cette évolution, nous nous concentrons sur le SGBD ORACLE qui offre plusieurs modes de partitionnement.

Le premier mode de partitionnement supporté par Oracle a été le partitionnement par intervalle (Range) dans Oracle8i. Il est défini par un tuple  $(c, V)$ , où  $c$  est un type de colonne et  $V$  une séquence ordonnée de valeurs dans le domaine de  $c$ . Oracle9 et 9i ont ajouté d'autres modes de fragmentation qui sont : le partitionnement par hachage (Hash) le partitionnement par liste (List) et le partitionnement composé (Range-Hash et Range-List). Le partitionnement par hachage décompose la table selon une fonction de hachage (fournie par le système) appliquée sur les valeurs des attributs de fragmentation. Le partitionnement par liste, décompose une table selon les listes de valeurs d'une colonne. Le partitionnement composé est utilisé à l'aide des instructions PARTITION-SUBPARTITION <sup>2</sup>. Les partitionnements Range, List et Hash sont des modes de base supportés par la plupart des SGBDs commerciaux.

Récemment, Oracle 11g a fait évoluer la fragmentation horizontale en proposant plusieurs modes : (1) Partitionnement par une colonne virtuelle (virtual column partitioning) dans lequel, une table est fragmentée en utilisant un attribut virtuel, qui est défini par une expression utilisant un ou plusieurs attributs. Cette colonne est stockée seulement dans les méta-données. (2) Le partitionnement par référence (referential partitioning) : qui permet de fragmenter une table en utilisant une autre table (à condition qu'il y ait une relation de type père-fils entre les deux tables (Corp., 2007)). Ce partitionnement est similaire à la fragmentation dérivée, mais son inconvénient majeur est qu'une table est fragmentée en fonction d'une seule autre table. Dans les entrepôts de données, une table des faits doit être fragmentée en utilisant les schémas de fragmentation de plusieurs tables de dimension pour garantir une optimisation des requêtes complexes. (3) Toutes les combinaisons de modes de base c'est-à-dire, Range, List et Hash sont possibles : Range-Range, List-List, Hash-Hash, List-Hash, etc. Malheureusement, une table donnée ne pourra pas être fragmentée selon la combinaison de trois modes de base. Pour une réelle utilisation de la fragmentation dans les bases de données, ces modes doivent être supportés ou implémentés par un administrateur.

---

<sup>1</sup>Un schéma de fragmentation est le résultat du processus de fragmentation d'une table donnée

<sup>2</sup>Ces modes de partitionnement sont aussi supportés par les autres SGBDs commerciaux comme SQL Server, Sybase, DB2, etc.

Cette évolution rapide de la fragmentation horizontale nous a motivés pour l'étudier en détail. En explorant les travaux académiques et industriels les plus importants sur la manière de sélectionner des schémas de fragmentation horizontale, nous constatons que cette sélection suppose une décomposition du domaine des valeurs d'attributs participant au processus de fragmentation<sup>3</sup>. Cette décomposition peut être réalisée de deux manières : (1) une décomposition orientée utilisateur et (2) une décomposition orientée requêtes. Dans la première catégorie, l'administrateur décompose le domaine de valeurs de chaque attribut de fragmentation en se basant sur ses connaissances des applications (requêtes) et *impose à priori* le nombre de fragments horizontaux générés. Les principaux inconvénients de ce mode de partitionnement sont (i) l'absence d'une métrique garantissant l'efficacité du schéma de fragmentation obtenu et (ii) la manière de décomposer chaque domaine en plusieurs sous domaines.

Dans le partitionnement orienté requêtes, les domaines des valeurs des attributs de fragmentation sont décomposés en se basant sur les requêtes définies sur le schéma de la base de données. Dans ce mode, plusieurs algorithmes ont été proposés dans les bases de données traditionnelles, que nous pouvons classer en trois principales approches : approches basées sur les prédicats (Özsu et Valduriez, 1999; Ceri et al., 1982), approches basées sur l'affinité (Navathe et al., 1995) et approches basées sur un modèle de coût (Bellatreche et al., 2000). Le principal inconvénient de cette catégorie, est que l'administrateur n'a aucun contrôle sur le nombre de fragments générés.

Dans ce papier, nous montrons la NP-complétude du problème de sélection de schéma de fragmentation avec une contrainte représentant le nombre de fragments que l'administrateur souhaite avoir. Puis, nous proposons un algorithme de type hill climbing que nous comparons ensuite avec deux algorithmes de sélection de schéma de fragmentation. Les schémas générés sont ensuite validés sous Oracle10g avec les données du banc d'essai APB-1 Council (1998). Pour réaliser cette expérimentation, nous avons implémenté la fragmentation horizontale dérivée puisqu'elle n'est pas bien nativement supportée par Oracle10g, ainsi que la fragmentation combinant trois ou plusieurs modes.

Ce papier est divisé en 6 sections. Dans la section 2, nous formalisons le problème de sélection d'un schéma de fragmentation horizontale et proposons une preuve de sa NP-Complétude. La section 3 présente l'algorithme de Hill Climbing basé sur un mécanisme de codage permettant d'éviter les solutions redondantes. La section 4 présente une étude expérimentale afin de comparer trois algorithmes, à savoir le hill climbing, le recuit simulé et le génétique, tous basés sur le même codage. La Section 5 présente une validation de notre travail sur ORACLE10G. La section 6 conclut le papier en résumant le travail effectué et en citant quelques perspectives.

## 2 Étude de complexité

Dans le contexte des entrepôts de données relationnels, nous avons proposé dans (Bellatreche et Boukhalfa, 2005), une méthodologie pour la fragmentation des différentes tables composant un schéma en étoile (tables de dimension et table de faits) : (1) fragmenter quelques/toutes les tables de dimension en utilisant la fragmentation horizontale primaire, et (2) fragmenter la table des faits en utilisant les schémas de fragmentation des tables de dimension, fragmentées à la première étape. Cette méthodologie peut générer un nombre important de fragments de la

<sup>3</sup>La décomposition des domaines de valeurs des attributs d'une table implique une fragmentation horizontale de cette table.

table des faits (noté par  $N$ )  $N = \prod_{i=1}^g m_i$  où  $m_i$  et  $g$  sont le nombre de fragments de la table de dimension  $D_i$  et le nombre de tables de dimension qui ont participé dans le processus de fragmentation, respectivement.

Pour éviter l'explosion de ce nombre, nous formalisons le problème de sélection d'un schéma de fragmentation horizontale comme un problème d'optimisation sous contrainte : étant donné un ensemble de requêtes représentatives  $Q$  définies sur un entrepôt de données composé d'une table de faits  $F$  et  $n$  tables de dimension  $\{D_1, D_2, \dots, D_n\}$ , et une contrainte de maintenance  $W$  représentant le nombre de fragments de faits que l'administrateur souhaite avoir, fragmenter la table des faits  $F$  en  $N$  fragments tel que  $\sum_{q_j \in Q} freq_{q_j} \times Cost(q_j)$  ( $freq_{q_j}$  représente la fréquence d'accès de la requête  $q_j$ ) soit minimisé et que la contrainte ( $N \leq W$ ) soit respectée.

## 2.1 Complexité du problème de sélection d'un schéma de fragmentation horizontale

Pour étudier la complexité du problème de sélection d'un schéma de fragmentation horizontale nous considérons un problème de décision simplifié qui prend en considération un seul domaine d'un attribut d'une table de dimension pour partitionner la table des faits. Nous appelons ce problème, *Problème de Fragmentation Horizontale à un Seul Domaine (PFHSD)*. Le problème d'optimisation correspondant consiste à partitionner la table des faits telle que le nombre de partitions de cette table soit borné par une constante et le nombre d'opérations d'entrées/sorties (E/S) nécessaires soit minimisé. Nous présentons ce problème d'optimisation comme suit :

**Problème :** Fragmentation Horizontale à un Seul Domaine

- **Instance :**
  - un ensemble  $D$  de sous domaines disjoints  $\{d_1, \dots, d_n\}$  d'un attribut d'une table de dimension et le nombre d'E/S nécessaires pour lire les données correspondant au sous domaine  $d_i$  dans la table des faits, noté  $l(d_i)$ ,  $1 \leq i \leq n$ .
  - un ensemble de requêtes  $\{q_1, \dots, q_m\}$  et pour chaque requête  $q_j$  la liste  $f(q_j) \subseteq D$  des sous domaines utilisés pour l'exécution de la requête :  $\{d_{j1}, \dots, d_{jn_j}\}$ , où  $n_j$  est le nombre de sous domaines utilisés pour exécuter  $q_j$ .
  - deux entiers positifs  $K$  et  $L$ , où  $K$  est le nombre maximum de partitions qui peuvent être créés et  $L$  est le nombre maximum d'E/S nécessaires pour chaque requête,  $L \geq \sum_{d \in f(q)} l(d)$ .
- **Question :** Est-ce que  $D$  peut être partitionné au maximum en  $K$  sous domaines,  $D_1, \dots, D_K$  tels que chaque requête nécessite au plus  $L$  opérations d'entrées sorties.

Le nombre optimal d'opération d'E/S nécessaires pour une requête  $q_j$  est :  $l(q_j) = \sum_{d \in f(q_j)} l(d)$ . Ce nombre correspond au cas où seules les données nécessaires sont chargées en mémoire pour exécuter  $q_j$ . Selon une partition donnée, le nombre des opérations d'E/S augmente puisque toutes les données d'une partition sont chargées lorsqu'elles sont utilisées par une requête donnée, même si cette requête ne nécessite pas toutes les données de la partition (c'est-à-dire un sous-ensemble des domaines de la partition).

Ainsi, le nombre des opérations d'entrées/sorties requises par une requête après fragmentation ne dépend pas des sous domaines utilisés, mais uniquement des partitions utilisées. Le nombre d'E/S pour le chargement d'une partition  $D_i$  est défini par :  $l(D_i) = \sum_{d \in D_i} l(d)$ . En

conséquence, le nombre d'E/S nécessaires à l'exécution d'une requête peut être défini comme :  $l(q) = \sum_{D \in F(q)} l(D)$ , où  $F(q)$  est la liste des partitions utilisées par une requête  $q$ .

L'objectif est de réaliser un partitionnement horizontal de la table de faits tel que le nombre de partitions est limité à  $K$  et le nombre d'E/S est limité par  $L$  pour chaque requête. Il est évident que si  $K \geq n$ , un partitionnement horizontal qui satisfait les contraintes est obtenu en définissant exactement une partition pour chaque  $d_i \in D$ . De cette manière, toutes les requêtes ne chargent que les données requises pendant leur exécution. Nous verrons que notre problème de décision simplifié devient difficile lorsque  $K < n$ . Nous supposons aussi que  $L \geq \sum_{d \in f(q)} l(d)$  car sinon il n'existe pas de partitionnement d'un domaine respectant cette contrainte.

## 2.2 NP-Complétude du problème de fragmentation horizontale dérivée

Le problème de partitionnement horizontal couplé au problème d'allocation a été montré NP-Complet dans Sacca et Wiederhold (1985) dans une architecture de cluster de processeurs. Dans cette preuve, la NP-Complétude ne provient pas de la difficulté à fragmenter les tables puisque les auteurs considèrent des relations avec exactement une ligne et une colonne, donc pour lesquelles aucune fragmentation supplémentaire n'est possible. Précisément, la NP-Complétude ne provient que de l'allocation des tables sur les différents processeurs du cluster (voir preuve dans Sacca et Wiederhold, 1985, p.37)". Dans notre cas, nous ne considérons que le problème de partitionnement et nous montrons qu'il est un problème NP-Complet *au sens fort*<sup>4</sup>.

**Théorème 1** *Le problème de fragmentation horizontale à un seul domaine est NP-Complet au sens fort.*

**Preuve 1** *Le PFHSD appartient clairement à NP car si on effectue un partitionnement de  $D$ , alors un algorithme polynomial peut vérifier qu'au plus  $K$  partitions sont utilisées et que chaque requête nécessite au plus  $L$  opérations d'E/S. Nous prouvons maintenant que le problème PFHSD est NP-Complet au sens fort. Nous utilisons le problème 3-Partition qui est NP-Complet au sens fort (Garey et Johnson, 1990) et se définit comme suit :*

### Problème : 3-Partition

- **Instance :** Un ensemble  $A$  de  $3m$  éléments, une borne  $B \in \mathbb{Z}^+$ , et une taille  $s(a) \in \mathbb{Z}^+$  pour chaque  $a \in A$  tel que  $B/4 < s(a) < B/2$  et que  $\sum_{a \in A} s(a) = mB$ .
- **Question :** Est ce que  $A$  peut être partitionné en  $m$  ensembles disjoints  $A_1, \dots, A_m$  tels que, pour  $1 \leq i \leq m$ ,  $\sum_{a \in A_i} s(a) = B$ ? (notons que chaque  $A_i$  doit obligatoirement contenir trois éléments de  $A$ )

Pour prouver la NP-Complétude du problème PFHSD, nous réduisons à partir du problème 3-Partition. Pour chaque instance du problème 3-Partition, une instance du problème PFHSD est définie comme suit :

- pour chaque  $a_i \in A$ , un sous domaine  $d_i$  est créé de sorte que  $l(d_i) = s(a_i)$ ,  $1 \leq i \leq 3m$ .
- $3m$  requêtes sont créées telles que chaque requête utilise exactement un sous domaine :  $f(q_i) = \{d_i\}$ ,  $1 \leq i \leq 3m$ .

<sup>4</sup>C'est la classe des problèmes les plus durs de NP. Nous renvoyons à (Garey et Johnson, 1990) pour une définition précise de cette classe de problèmes

- $K = L = B$

Il est clair que la transformation est effectuée en un temps polynomial car elle consiste à une correspondance un à un des éléments de 3-partition, les sous domaines et les requêtes. Nous prouvons maintenant que nous trouvons une solution à une instance du problème 3-partition, si et seulement si, nous trouvons une solution à une instance du problème PFHSD.

(*Condition nécessaire*) Supposons que nous avons une solution au problème PFHSD, alors elle satisfait les conditions suivantes :

- puisque  $B/4 < l(d) < B/2$ , chaque sous ensemble de  $D$  doit être défini avec exactement 3 sous domaines (comme dans chaque instance 3-partition).
- Puisque nous avons une solution faisable du problème PFHSD, alors aucune requête ne nécessite plus de  $B$  opérations d'E/S. Par construction nous vérifions que :  $\sum_{d \in D} l(d) = mB$ . Par conséquent, chaque requête nécessite exactement  $B$  E/S dans la table des faits (sinon, ce n'est pas une solution). En utilisant une correspondance un à un des sous domaines en éléments de 3-Partition, une solution faisable à l'instance 3-partition est obtenue.

(*Condition suffisante*) Supposons que nous avons une solution à une instance 3-Partition. Alors, chaque sous ensemble  $A_i$  a une taille totale de  $B$  et il est composé de exactement 3 éléments de  $A$ . Commençant par  $A_1$ , nous définissons une partition de sous-domaines en utilisant les mêmes indices des éléments appartenant à  $A_1$ . Puisque chaque requête est associée à exactement un sous-domaine et que trois sous domaines sont groupés dans chaque partition, alors trois requêtes utilisent une partition donnée. Par conséquent, le nombre d'E/S associées à ces trois requêtes est exactement  $B$ . En répétant ce processus pour chaque sous ensemble restant  $A_i$ , alors une solution faisable du problème de fragmentation à un seul domaine est obtenue.

Notre problème de fragmentation horizontale est au moins aussi complexe à résoudre que notre problème simplifié car plusieurs domaines sont considérés et cela pour plusieurs tables de dimension. Une instance de notre problème de fragmentation est une combinaison de plusieurs instances du problème PFHSD, par conséquent il est NP-Complet au sens fort.

### 3 Algorithmes de Sélection de Schéma de Fragmentation

En raison de la complexité du problème de fragmentation horizontale, le développement des heuristiques pour la sélection d'une solution satisfaisante est recommandé. Donc, dans cette section nous présentons un algorithme de Hill Climbing. Avant de détailler cet algorithme, nous présentons un codage pour représenter un schéma de fragmentation sur lequel des opérations seront définies.

#### 3.1 Codage d'un schéma de fragmentation

Rappelons que la fragmentation horizontale est effectuée sur les attributs de prédicats de sélection définis généralement sur les tables de dimension. Chaque attribut a un domaine de valeurs. Chaque prédicat de sélection est défini par :  $A \theta Valeur$  tel que  $A$  est un attribut d'une table de dimension,  $\theta \in \{=, <, >, \leq, \geq\}$ , et  $Valeur \in Domaine(A)$  (Ceri et al., 1982). Tout attribut participant dans le processus de partitionnement est appelé un *attribut de fragmentation*.

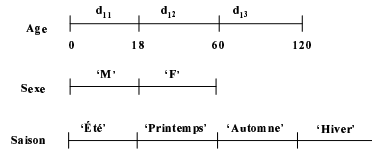


FIG. 1 – Exemple de sous domaines

La fragmentation horizontale permet d’abord de partitionner les domaines de valeurs des attributs de fragmentation. Pour illustrer cela, supposons que les domaines des attributs Age et Sexe de la table de dimension CLIENT et Saison de la table TEMPS sont :

$Dom(Age) = ]0, 120]$ ,  $Dom(Sexe) = \{ 'M', 'F' \}$  et  $Dom(Saison) = \{ \text{« Printemps »}, \text{« Été »}, \text{« Automne »}, \text{« Hiver »} \}$ . Nous supposons que l’administrateur décompose les domaines de ces attributs en sous domaines comme suit :  $Dom(Age) = d_{11} \cup d_{12} \cup d_{13}$ , avec  $d_{11} = ]0, 18]$ ,  $d_{12} = ]18, 60[$ ,  $d_{13} = [60, 120]$ ,  $Dom(Sexe) = d_{21} \cup d_{22}$ , avec  $d_{21} = \{ 'M' \}$ ,  $d_{22} = \{ 'F' \}$  et  $Dom(Saison) = d_{31} \cup d_{32} \cup d_{33} \cup d_{34}$ , avec  $d_{31} = \{ \text{« Printemps »} \}$  et  $d_{32} = \{ \text{« Été »} \}$ ,  $d_{33} = \{ \text{« Automne »} \}$  et  $d_{34} = \{ \text{« Hiver »} \}$ . Les différents sous domaines des trois attributs de fragmentation sont représentés sur la figure 1.

Le partitionnement du domaine de chaque attribut peut être représenté par un tableau multidimensionnel, où chaque ligne représente le partitionnement du domaine de l’attribut de fragmentation. La valeur de chaque cellule d’un tableau donné représentant un attribut  $A_i$  appartient à l’intervalle  $[1..n_i]$ , où  $n_i$  représente le nombre de sous domaines de l’attribut  $A_i$ . En se basant sur cette représentation, le schéma de fragmentation de chaque table est généré comme suit : (1) si toutes les cellules d’un attribut donné ont des valeurs différentes alors tous les sous domaines sont considérés pour fragmenter la table de dimension correspondante, (2) Si toutes les cellules d’un attribut donné ont la même valeur cela signifie que cet attribut ne participe pas au processus de fragmentation, (3) Si certaines cellules d’un attribut ont la même valeur alors leurs sous domaines correspondants sont fusionnés en un seul.

La figure 2 montre un exemple de codage d’un schéma de fragmentation basé sur trois attributs de fragmentation, Sexe, Saison et Age. Donc la table CLIENT sera fragmentée en utilisant les attributs Age et Sexe et la table TEMPS en utilisant l’attribut Saison. Pour matérialiser cette fragmentation, l’administrateur utilise l’instruction suivante pour créer les tables CLIENTS et TEMPS fragmentées.

```
CREATE TABLE CLIENT
(CID NUMBER, Nom Varchar2(20), Sexe CHAR, Age Number)
PARTITION BY RANGE (Age)
SUBPARTITION BY LIST (SEXE)
SUBPARTITION TEMPLATE (SUBPARTITION Female VALUES ('F'),
SUBPARTITION Male VALUES ('M'))
(PARTITION Cust_0_60 VALUES LESS THAN (61),
PARTITION Cust_60_120 VALUES LESS THAN (MAXVALUE));

CREATE TABLE TEMPS
(TID NUMBER, Saison VARCHAR2(10), Année Number)
PARTITION BY LIST(Saison)
(PARTITION Time_Summer VALUES('Summer'),
PARTITION Time_Spring VALUES ('Spring'),
PARTITION Time_Autumn_Winter VALUES('Automn', 'Winter'));
```

<b>Sexe</b>	<b>1</b>	<b>2</b>		
<b>Saison</b>	<b>1</b>	<b>2</b>	<b>3</b>	<b>3</b>
<b>Age</b>	<b>1</b>	<b>1</b>	<b>2</b>	

FIG. 2 – Exemple de codage d'un schéma de fragmentation

Puisque les tables CLIENT et TEMPS ont été fragmentées en 3 et 4 fragments respectivement, la table des faits sera fragmentée en 12 partitions.

### 3.2 Partitionner un ensemble et les fonctions à croissance restreintes

Notre codage souffre d'un problème de multi-instanciation. Pour illustrer ce problème, nous considérons un ensemble  $D = \{d_1, d_2, d_3\}$  alors chaque ensemble de partitions de  $D$ , par exemple  $\{\{d_1, d_3\}, \{d_2\}\}$  peut être représenté par un tableau d'entiers. Néanmoins, un même partitionnement peut être représenté par différents tableaux d'entiers comme l'exemple présenté dans table 1.

Sous Domaines	$d_1$	$d_2$	$d_3$
Tableau 1	0	1	0
Tableau 2	1	0	1

TAB. 1 – Exemple de deux codages du même partitionnement

Il est clair que tableau 1 et 2 diffèrent seulement par les numéros utilisés pour représenter les sous-ensembles. Dans les deux représentations  $d_1$  et  $d_3$  appartiennent au même sous-ensemble et  $d_2$  appartient au deuxième sous-ensemble. Pour résoudre ce problème, nous utilisons les fonctions à croissance restreinte (*Restricted Growth Functions* (Er, 1988; Tucker et al., 2005)).

Soit  $[n]$  un ensemble  $\{1, \dots, n\}$ , une fonction à croissance restreinte est une fonction  $f : [n] \rightarrow [n]$  tel que :

$$\begin{aligned} f(1) &= 0 \\ f(i+1) &\leq \max\{f(1), \dots, f(i)\} + 1 \end{aligned}$$

$f(i)$  définit l'indice du sous ensemble où l'élément  $i$  appartient. Par exemple, la partition  $\{\{1, 3, 5\}, \{2, 6\}, \{4\}\}$  est représentée en utilisant les fonctions à croissance restreintes par le codage suivant :  $[0, 1, 0, 2, 0, 1]$  où 0 est l'indice du premier sous-ensemble. Il y a une correspondance d'équivalence entre les partitions d'un ensemble et les fonctions à croissance restreinte. Dans l'exemple précédant, seul tableau 1 respecte l'ordre lexicographique introduit par le codage, tandis que tableau 2 ne sera jamais considéré durant le partitionnement de l'ensemble  $D$ .

**Théorème 2** *Il y a une correspondance un à un entre l'ensemble des partitionnements et l'ensemble des fonctions à croissance restreinte.*

Plusieurs algorithmes sont connus pour générer toutes les partitions d'un ensemble  $D$  dans l'ordre lexicographique (voir Er (1988) par exemple). Les propriétés des fonctions à croissance restreinte ont été étudiées pour définir efficacement les opérations de mutation et de croisement d'un algorithme génétique dans Tucker et al. (2005).

Pour évaluer la qualité d'un schéma de fragmentation horizontale, nous avons défini un modèle de coût mathématique qui estime le nombre de pages nécessaires à charger pour exécuter un ensemble de requêtes. Pour des raisons de restriction sur le nombre pages, les détails de ce modèle de coût sont présents dans Boukhalfa et al. (2008).

### 3.3 Hill Climbing

L'algorithme de Hill Climbing est une méthode de voisinage composée de deux étapes essentielles :

1. Trouver une solution initiale représentant un schéma de fragmentation de l'entrepôt.
2. Améliorer itérativement le schéma initial en utilisant des mouvements locaux tant que la réduction du temps d'exécution des requêtes est possible et que la contrainte de maintenance est satisfaite.

Une solution initiale peut être obtenue aléatoirement (en assignant des numéros choisis de manière aléatoire dans chaque cellule du tableau multidimensionnel). Dans ce travail, nous avons évité la génération aléatoire de la solution initiale. Nous avons utilisé l'algorithme d'affinité (Bellatreche et al., 2000) qui permet de regrouper les sous domaines en se basant sur leur affinité. Une affinité entre deux sous-domaines est la somme des fréquences d'accès des requêtes accédant simultanément à ces deux sous-domaines. Dans la deuxième étape, des mouvements sont effectués sur la solution initiale pour réduire le temps d'exécution des requêtes. Ces mouvements se basent sur l'utilisation de deux fonctions, *Merge* et *Split*. La fonction *Merge* permet de combiner deux partitions de sous domaines en une seule et ainsi diminuer le nombre de fragments générés. La fonction *Split* est duale à la fonction *Merge*. Elle permet d'éclater une partition en deux et augmenter ainsi le nombre de fragments générés. Ces deux fonctions ressemblent aux primitives d'Oracle, MERGE PARTITION et SPLIT PARTITION qui permettent de fusionner deux partitions en une seule et d'éclater une partition en deux respectivement.

- La fonction *Merge* possède la signature suivante :  $Merge(P_i^k, P_j^k, A_k, FS) \rightarrow FS'$ . Elle prend en entrée deux partitions  $P_i^k$  et  $P_j^k$  ( $P_i^k \neq P_j^k$ ) de l'attribut  $A_k$  et un schéma de fragmentation  $FS$  et donne en sortie un autre schéma  $FS'$  avec les deux partitions  $P_i^k$  et  $P_j^k$  fusionnées en une seule partition. La fusion de deux partitions consiste à leur attribuer le même numéro. C'est-à-dire assigner un même numéro à toutes les cellules appartenant aux deux partitions sur le tableau unidimensionnel correspondant à  $A_k$ .
- La fonction *Split* possède la signature suivante :  $Split(P_i^k, A_k, FS) \rightarrow FS''$ . Elle prend en entrée une partition  $P_i^k$  de l'attribut  $A_k$  et un schéma de fragmentation  $FS$  et donne en sortie un schéma  $FS''$  avec la partition  $P_i^k$  éclatée en deux partitions  $P_i^{k1}$  et  $P_i^{k2}$  ( $P_i^{k1} \neq P_i^{k2}$ ). Cela est effectué en donnant deux numéros différents aux cellules représentant  $P_i^{k1}$  et celles représentant  $P_i^{k2}$ . La fonction *Split* n'est pas appliquée sur une partition élémentaire contenant un seul sous domaine.

Pour illustrer le fonctionnement des deux fonctions, nous considérons l'exemple suivant ;

**Exemple 1** Supposant le schéma de fragmentation représenté par la figure 3(a). Dans ce schéma, le domaine de l'attribut Sexe est partitionné en deux partitions, le domaine de l'attri-

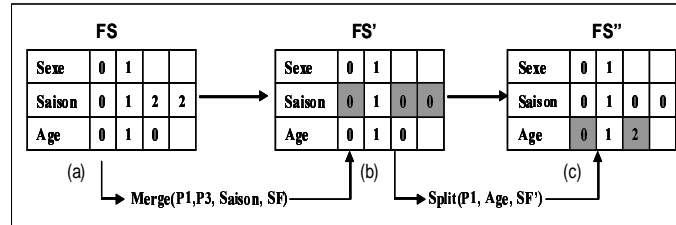


FIG. 3 – Exemple d'application de fonctions Merge et Split

but Saison en trois partitions et le domaine de l'attribut Age en deux partitions. Par exemple pour l'attribut Saison, la partition  $P_1$ , contient le sous domaine  $sd_1$ ,  $P_2$  contient le sous domaine  $sd_2$  et  $P_3$  contient les sous domaines  $sd_3$  et  $sd_4$ . Par conséquent SF génère 12 fragments.

L'application de la fonction Merge sur les partitions  $P_1$  et  $P_3$  de l'attribut Saison ( $Merge(P_1, P_3, Saison, SF)$ ) donne le schéma de fragmentation  $SF'$ . Dans  $SF'$  l'attribut Saison possède deux partitions après la fusion, la partition  $P'_1$  contient les sous-domaines  $sd_1$ ,  $sd_3$  et  $sd_4$  et la partition  $P'_2$  contient le sous-domaine  $sd_2$  (voir figure 3(b)).  $SF'$  génère ainsi 8 fragments.

Sur le schéma  $SF'$ , nous appliquons la fonction Split sur la partition  $P'_1$  de l'attribut Age ( $Split(P_1, Age, SF')$ ), nous obtenons le schéma  $SF''$ . Dans  $SF''$ , la partition  $P_1$  a été scindée en deux partitions, la première contient le sous-domaine  $sd_1$  et la deuxième le sous-domaine  $sd_3$  (voir figure 3(c)).  $SF''$  génère au total 12 fragments.

## 4 Expérimentations

Dans cette section, nous présentons les résultats expérimentaux pour comparer les différents algorithmes : hill climbing, le génétique et le recuit simulé. Les deux derniers ont été développés dans Bellatreche et al. (2006). Dans ce travail, nous avons réutilisé ces deux algorithmes avec le codage présenté dans cet article en utilisant les fonctions à croissance restreinte. Cette comparaison est effectuée en utilisant un modèle de coût mathématique.

**L'entrepôt de données** Nous avons utilisé l'entrepôt de données issu du benchmark APB1 (Council, 1998). Le schéma en étoile de ce benchmark possède une table de faits Actvars(24 786 000 tuples), et quatre tables de dimension : Prodlevel (9 000 tuples), Custlevel (900 tuples), Timelevel(24 tuples) et Chanlevel (9 tuples).

**Charge de requêtes** Nous avons considéré 60 requêtes de recherche composées d'un seul bloc (pas de requêtes imbriquées) avec 40 prédicats de sélection définis sur 12 attributs (ClassLevel, GroupLevel, FamilyLevel, LineLevel, DivisionLevel, YearLevel, MonthLevel, QuarterLevel, RetailerLevel, CityLevel, GenderLevel, AllLevel). Les domaines de ces attributs sont décomposés en 4, 2, 5, 2, 4, 2, 12, 4, 4, 4, 2 et 5 sous domaines. Chaque prédicat possède un facteur de sélectivité calculé sur l'entrepôt réel. Nos algorithmes ont été implémentés en utilisant Visual C++ sur une machine Intel Centrino de 1Go de RAM.

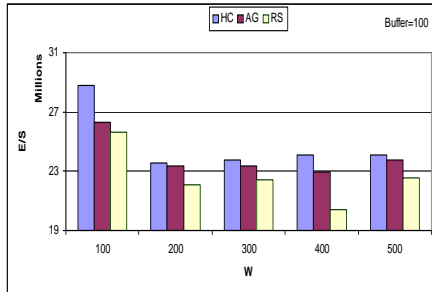


FIG. 4 – Effet de W

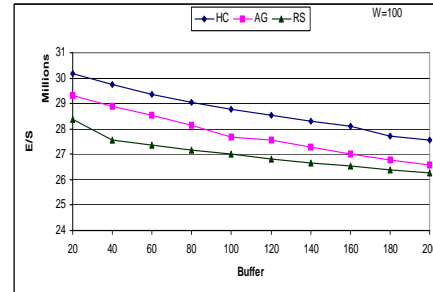


FIG. 5 – Etude de l'impact du buffer

#### 4.1 Comparaison des heuristiques

Les paramètres de l'algorithme génétique sont : nombre d'individus : 20, taux de croisement 80 et taux de mutation 20. Les paramètres du recuit simulé sont : température initiale : 1400, facteur de décroissement de la température 0,9 et l'équilibre 10.

La figure 4 montre les performances de chaque algorithme par rapport au seuil  $W$ . Nous avons fait varier  $W$  de 100 à 500 en utilisant 40 prédicats et pour chaque valeur de  $W$ , nous exécutons chaque algorithme. Le recuit simulé et le génétique donnent de meilleurs résultats. L'algorithme hill climbing est moins performant par le fait qu'il est confronté à une recherche plus fine dans des optimums locaux. L'augmentation du seuil améliore généralement les performances des requêtes car en relâchant  $W$ , plus d'attributs sont utilisés pour fragmenter l'entrepôt. Lorsque  $W$  est grand les domaines sont décomposés en plus de partitions et donc chaque partition est moins volumineuse. Cela implique moins de données chargées pour exécuter les requêtes utilisant les attributs de fragmentation.

La figure 5 montre l'effet du tampon (buffer) sur la performance des requêtes. Notre modèle de coût est basé sur la gestion du tampon et sa taille. Nous varions la valeur du buffer de 20 à 200 pages et nous exécutons les algorithmes pour chaque valeur. L'augmentation de la taille du tampon implique une amélioration de la performance car un tampon assez large permet de garder les résultats intermédiaires en mémoire où l'accès n'est pas coûteux en temps. Un tampon de petite taille provoque l'écriture des résultats intermédiaires sur le disque et leur rechargement pour les prochaines jointures, ce qui augmente le nombre d'E/S.

La figure 6 montre l'effet de la taille des tables de dimension (en terme de nombre de tuples). Nous avons considéré que toutes les tables de dimension ont le même nombre de tuples et nous avons fait varier ce nombre entre 10 et 100000. Les résultats montrent que pour les petites tailles des tables (de 10 à 1000) les résultats sont presque similaires du fait que pour ces cas les fragments des tables de dimension sont suffisamment petits pour tenir dans un nombre de pages similaires. Lorsque la taille des tables de dimension devient importante, le temps d'exécution augmente car les fragments de ces dernières occupent plus d'espace et provoque plus de données enregistrées sur le disque lors de leur jointure avec les fragments de faits.

Pour voir l'effet du nombre de prédicats utilisés dans les 60 requêtes sur la performance globale, nous faisons varier ce nombre entre 10 et 40. Nous créons quatre classes de requêtes utilisant chacune un nombre de prédicats différents (10, 20, 30 et 40 prédicats). Pour chaque

## Fragmentation: Complexité, Algorithmes de Sélection et Validation sous ORACLE10g

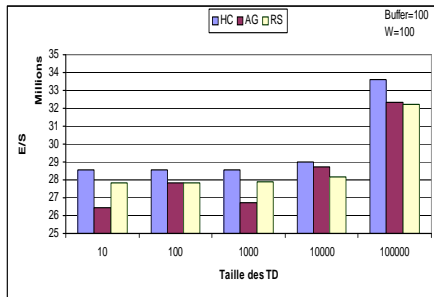


FIG. 6 – Effet de la taille des TD

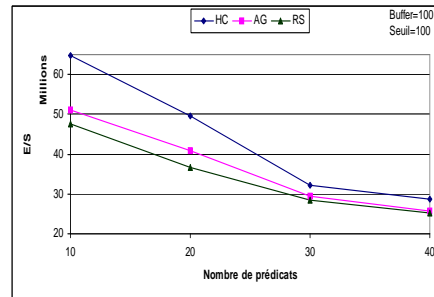


FIG. 7 – Effet du nombre de prédicats

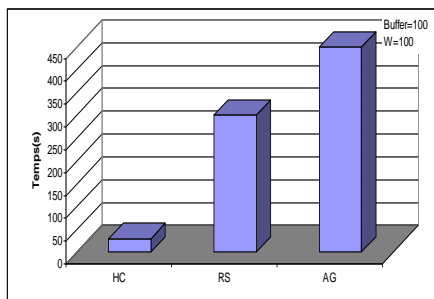


FIG. 8 – Temps d'exécution de chaque algorithme

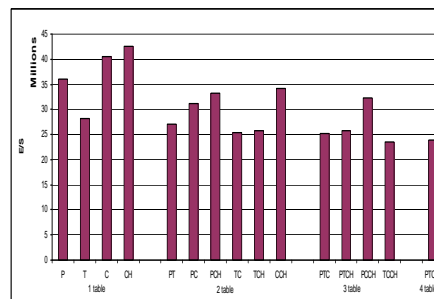
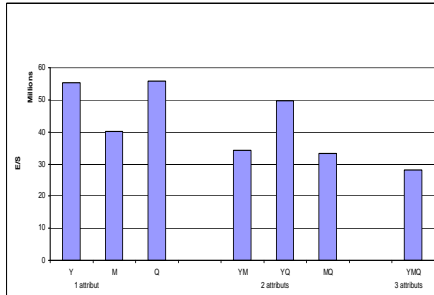


FIG. 9 – Choix et nombre de tables de dimension

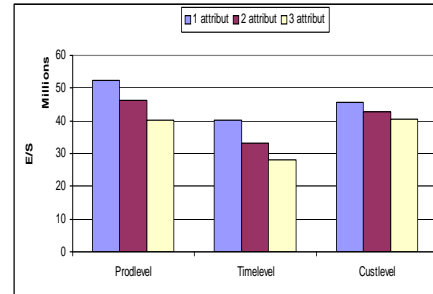
instance, nous exécutons nos algorithmes pour  $W=100$ . Les résultats obtenus montrent que le nombre de prédicats utilisés par les requêtes a un effet considérable sur la performance des requêtes. Lorsque ce nombre est petit, la plupart des requêtes ne bénéficient pas de la fragmentation. Ceci est expliqué par le fait qu'elles accèdent à un nombre important de sous schémas, voire la totalité des sous-schémas si elles ne possèdent pas des prédicats définis sur des attributs de fragmentation. Par conséquent, plusieurs opérations d'union sont nécessaires pour avoir le résultat final. Par contre si le nombre de prédicats est important, le nombre de sous schémas valides pour chaque requête est réduit (surtout pour celles n'utilisant que des attributs de fragmentation) ce qui implique le chargement de moins de données (les sous schémas valides seulement).

La figure 8 montre le temps moyen d'exécution de chaque algorithme pour  $W=100$ . Le génétique et le recuit simulé consomment plus de temps d'exécution vu qu'ils utilisent plusieurs opérations. L'algorithme génétique prend plus de temps car il manipule plusieurs solutions en même temps. Le hill climbing est l'algorithme le plus rapide puisqu'il est basé sur deux opérations simples à savoir Merge et Split. Si administrateur privilégie la qualité de la solution, il choisira le recuit simulé, sinon le hill climbing s'il privilégie la rapidité d'exécution de son algorithme de sélection.

Pour montrer l'effet du choix des tables de dimension à fragmenter, nous avons mené des expérimentations en utilisant, 1, 2, 3 et 4 tables de dimension pour fragmenter l'entrepôt. Pour



**FIG. 10** – Choix des attributs de la table Ti-melevel



**FIG. 11** – Effet du nombre d'attributs de fragmentation de chaque table

chaque cas, nous avons pris en considération toutes les combinaisons possibles. Ces expérimentations ont été effectuées en utilisant le RS puisque il donne les meilleurs résultats. Les tables utilisées sont : Prodlevel(P), Timelevel(T), Custlevel(C) et Chanlevel(CH). La figure 9 montre les résultats obtenus. Ces derniers montrent que le choix des tables de dimension à fragmenter est très important. Par exemple, la table Timelevel est la plus adaptée pour être partitionnée, cela est justifiée que cette table est la table la plus utilisée par la charge de requêtes et par conséquent ces requêtes accéderont à moins de sous schémas en étoile et donc moins de données chargées. Les résultats montrent aussi que choisir plus de tables de dimension pour la fragmentation donne plus de performance à condition de choisir les bonnes tables.

Pour montrer l'effet du choix des attributs, nous avons pris l'exemple de la table Timelevel. Nous avons considéré toutes les combinaisons possibles pour le choix des attributs (voir figure 10). Ces attributs sont (Monthlevel(M), Yearlevel(Y) et Quarterlevel(Q)). L'attribut Monthlevel donne les meilleurs résultats. Ceci s'explique par le fait que Monthlevel est l'attribut le plus utilisé et son utilisation dans la fragmentation permet aux requêtes qui l'utilisent d'accéder à un nombre réduit de sous-schémas et de données.

La même expérience a été menée pour les deux autres tables de dimension. Nous avons pris pour chaque table le meilleur temps d'exécution des requêtes pour le cas de 1, 2 ou 3 attributs choisis pour fragmenter l'entrepôt (voir figure 11). Les résultats montrent que lorsqu'on choisit plus d'attributs pour fragmenter l'entrepôt nous obtenons plus de performance car plus de requêtes sont satisfaites (celles utilisant ces attributs) en accédant à moins de sous schémas en étoile.

## 5 Validation sous ORACLE10g

Pour valider notre travail, nous avons développé une plate forme sous ORACLE10g pour gérer le partitionnement d'un entrepôt de données. L'architecture de cette plate forme est décrite dans la figure 12.

Cette architecture est composée de trois modules principaux : (1) le module de sélection d'un schéma de fragmentation, (2) le module de fragmentation de l'entrepôt et (3) le module de réécriture des requêtes.

## Fragmentation: Complexité, Algorithmes de Sélection et Validation sous ORACLE10g

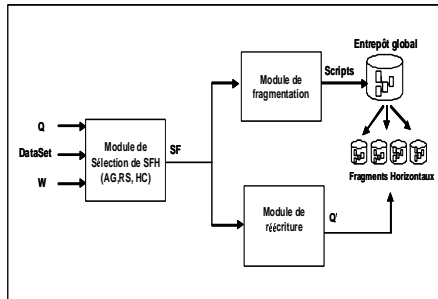


FIG. 12 – Architecture de notre implémentation

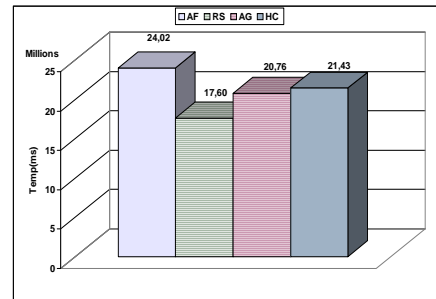


FIG. 13 – Résultats sous Oracle

1. *Module de sélection d'un schéma de fragmentation horizontale (MSSFH)* : à partir d'un ensemble de requêtes, le schéma de l'entrepôt et le nombre de fragments souhaités, MSSFH permet de sélectionner un schéma de fragmentation horizontale en utilisant un des trois algorithmes proposés.
2. *Module de fragmentation (MF)* : Ce module reçoit en entrée un schéma de fragmentation généré par MSSFH et donne en sortie tous les scripts permettant de fragmenter l'entrepôt. Deux types de scripts sont générés. Le premier concerne les scripts pour fragmenter les tables de dimensions en utilisant la fragmentation primaire. Le deuxième type de scripts est pour fragmenter la table des faits. Plusieurs difficultés sont apparues pour réaliser ce module. Elles sont liées au fait qu'ORACLE ne supporte pas une fragmentation primaire sur plus de trois attributs et une fragmentation dérivée de la table des faits en utilisant plus de deux tables de dimension (voir Section 1).

Pour remédier à ces difficultés, nous avons développé une technique permettant d'implémenter la fragmentation horizontale sur plusieurs attributs. La technique consiste à ajouter une colonne supplémentaire  $Col_i$  dans la table de dimension  $D_i$  à fragmenter. Selon le schéma de fragmentation de la table  $D_i$  notre module de fragmentation génère un script PLSql permettant de remplir cette colonne pour chaque instance. La valeur de cette colonne pour une instance  $ins_j$  d'une table de dimension  $D_i$  correspond au numéro de fragment contenant  $ins_j$ . Après le remplissage, nous fragmentons la table  $D_i$  par liste sur cette colonne.

Pour supporter la fragmentation horizontale dérivée basée sur la fragmentation de plusieurs tables de dimension, nous avons développé la solution suivante : nous créons une colonne supplémentaire  $Col_F$  dans la table des faits. Cette colonne contient la concaténation des numéros de fragments des tables de dimension. Pour remplir cette colonne, nous effectuons une jointure entre la table des faits et les tables de dimension fragmentées, et nous concaténons les valeurs des colonnes  $Col_i$  utilisées pour fragmenter les tables de dimension. Nous fragmentons ensuite la table des faits par liste sur la colonne  $Col_F$ . Pour faire cela, nous créons une vue matérialisée temporaire V comme suit :

```
CREATE MATERIALIZED VIEW V
BUILD IMMEDIATE
AS
```

```

SELECT a.customer_level, a.product_level,a.channel_level,
a.time_level, a.unitssold, a.dollarsales,a.dollarcost,
prod_col||'-'||time_col||'-'||cust_col as Col_F
FROM actvars a, prodlevel p, custlevel c, timelevel t
WHERE a.customer_level = c.store_level
AND a.product_level = p.code_level
AND a.time_level = t.tid

```

Nous chargeons la vue matérialisée V dans la table des faits et nous supprimons ensuite V.

3. *Module de réécriture (MR)* : ce module reçoit en entrée un schéma de fragmentation  $SF$  et les requêtes globales, il retourne des requête réécrites sur  $SF$ . La réécriture d'une requête  $q_j$  sur  $SF$  consiste à identifier les sous schémas valides pour  $q_j$  et ensuite la réécrire sur ces derniers.

## 5.1 Implémentation sous Oracle

Nous avons implémenté les schémas de fragmentation obtenus à partir de chaque algorithme sous Oracle 10g. Nous avons choisi le scénario suivant pour valider les trois algorithmes : L'algorithme génétique et le recuit simulé ont généré un schéma de fragmentation composé de 80 sous schémas en étoile. Le génétique utilise 5 attributs parmi 12 et 3 tables de dimension (Timelevel, Custlevel et Chanlevel) pour fragmenter l'entrepôt. Le recuit simulé utilise 5 attributs mais toutes les tables de dimension ont été utilisées pour fragmenter l'entrepôt. le Hill Climbing a généré 96 sous schémas en étoile en utilisant 4 attributs et 3 tables de dimension (Prodlevel, Timelevel et Chanlevel).

Nous avons implémenté chaque schéma en utilisant notre module de fragmentation. Les requêtes d'origine ont été réécrites par le module de réécriture sur chaque schéma de fragmentation. Nous avons exécuté les requêtes d'origine sur l'entrepôt non fragmenté (AF) et les requêtes réécrites sur l'entrepôt fragmenté correspondant. Le tampon est vidé après chaque exécution de requête. La figure 13 montre les résultats obtenus. Elle illustre deux points importants : (i) que la fragmentation horizontale dans les entrepôts de données est cruciale pour la performance de requêtes et (ii) que le choix de l'algorithme de fragmentation a un impact considérable sur cette performance. Par exemple, l'algorithme de recuit simulé donne de meilleurs résultats (comme dans l'évaluation théorique) que le génétique ou le hill climbing.

## 6 Conclusion

La fragmentation horizontale a été largement adoptée par la plupart des systèmes de gestion de bases de données commerciaux et les chercheurs, où elle est supportée dans leurs langages de définition de données. Nous avons présenté un état de l'art sur l'évolution de cette technique d'optimisation non redondante au sein de ces systèmes. Cette étude nous a permis de confronter les travaux de recherche avec les travaux industriels et surtout de dégager quelques limites des travaux industriels. Ainsi, nous avons montré la NP-complétude du problème de sélection de schéma de fragmentation d'un entrepôt de données. Le schéma sélectionné comprend deux autres schémas : un schéma de fragmentation des tables de dimension (obtenu par la fragmentation horizontale primaire) et un schéma de fragmentation de la table des faits (obtenu par la

fragmentation horizontale dérivée). Pour sélectionner un schéma de fragmentation quasi optimal, nous avons proposé une heuristique de hill climbing. Pour évaluer la qualité de cette heuristique, nous l'avons comparée avec d'autres algorithmes : le génétique et le recuit simulé. Cette comparaison est réalisée avec une étude expérimentale basée sur un modèle de coût calculant le nombre d'entrées/sorties nécessaire pour exécuter un ensemble de requêtes. Pour valider nos algorithmes, nous avons mené une implémentation réelle de tous les schémas de fragmentation générés par les trois algorithmes sous ORACLE10G avec les données du banc d'essai APB1. Cette implémentation comprend la fragmentation horizontale primaire et dérivée. Les résultats obtenus montrent l'intérêt et l'impact de la fragmentation horizontale dans les entrepôts de données relationnels et le choix de l'algorithme de fragmentation.

Il serait intéressant d'adapter les algorithmes proposés pour la fragmentation verticale. Une adaptation directe consiste à remplacer les sous domaines par les attributs des tables à fragmenter.

## Références

- Bellatreche, L. et K. Boukhalfa (2005). An evolutionary approach to schema partitioning selection in a data warehouse environment. *Proceeding of the International Conference on Data Warehousing and Knowledge Discovery (DAWAK'2005)*, 115–125.
- Bellatreche, L., K. Boukhalfa, et H. I. Abdalla (2006). Saga : A combination of genetic and simulated annealing algorithms for physical data warehouse design. *in 23rd British National Conference on Databases* (212-219).
- Bellatreche, L., K. Karlapalem, et A. Simonet (2000). Algorithms and support for horizontal class partitioning in object-oriented databases. *in the Distributed and Parallel Databases Journal* 8(2), 155–179.
- Boukhalfa, K., L. Bellatreche, et P. Richard (2008). Fragmentation primaire et dérivée : Étude de complexité, algorithmes de sélection et validation sous oracle10g. Techreport <http://www.lisi.ensma.fr/members/bellatreche>, LISI/ENSMA.
- Ceri, S., M. Negri, et G. Pelagatti (1982). Horizontal data partitioning in database design. *Proceedings of the ACM SIGMOD International Conference on Management of Data. SIGPLAN Notices*, 128–136.
- Corp., O. (2007). Oracle partitioning. *White Paper*, <http://www.oracle.com/technology/products/bi/db/11g/>.
- Council, O. (1998). Apb-1 olap benchmark, release ii. <http://www.olapcouncil.org/research/resrchly.htm>.
- Er, M. C. (1988). A fast algorithm for generating set partitions. *Comput. J.* 31(3), 283–284.
- Garey, M. R. et D. S. Johnson (1990). *Computers and Intractability ; A Guide to the Theory of NP-Completeness*. New York, NY, USA : W. H. Freeman & Co.
- Navathe, S., K. Karlapalem, et M. Ra (1995). A mixed partitioning methodology for distributed database design. *Journal of Computer and Software Engineering* 3(4), 395–426.
- Özsu, M. T. et P. Valduriez (1999). *Principles of Distributed Database Systems : Second Edition*. Prentice Hall.

- Papadomanolakis, S. et A. Ailamaki (2004). Autopart : Automating schema design for large scientific databases using data partitioning. *Proceedings of the 16th International Conference on Scientific and Statistical Database Management (SSDBM 2004)*, 383–392.
- Sacca, D. et G. Wiederhold (1985). Database partitioning in a cluster of processors. *ACM Trans. Database Syst.* 10(1), 29–56.
- Sanjay, A., V. R. Narasayya, et B. Yang (2004). Integrating vertical and horizontal partitioning into automated physical database design. *Proceedings of the ACM SIGMOD International Conference on Management of Data*, 359–370.
- Tucker, A., J. Crampton, et S. Swift (2005). Rgfga : An efficient representation and crossover for grouping genetic algorithms. *Evol. Comput.* 13(4), 477–499.

## Summary

Horizontal partitioning has been largely advocated by database community, especially during the physical design phase. Most of today’s commercial database systems offer native DDL (data definition language) support for defining horizontal partitions of a table/view using different modes. In this paper, we first present the evolution of horizontal partitioning in commercial database systems during last decade and we point out some limitations. Secondly, we study the problem of selecting horizontal partitioning schema of a relational data warehouse and we show its NP-completeness. Due to its high complexity, we develop a hill climbing heuristic to select a near optimal solution. We conduct extensive experimental studies to compare using a mathematical cost model the quality of hill climbing with other existing algorithms (genetic and simulated annealing). Finally, we present a real validation of our algorithms on ORACLE10G using data set of APB1 benchmark.